

砲身の焼蝕に就て

小 豪 重 行*

ON THE EROSION IN THE BORE OF GUN-BARRELS

Sigeyuki Koyabu

SYNOPSIS:— The principal causes of erosion in the gun-barrel bore are cracks and the deterioration caused by the action of the gun-powder gas, as well as abrasion due to projectiles passing through. The author investigated microscopically and by X-rays the cracks and the characteristic layer on the eroded surface of the bore. It was ascertained that the characteristic layer has a structure which has become martensitic due to the heating effect of the gun-powder gas. At the instant of discharge, the barrel expands and contracts, and also the hard layer itself does so due to the heating effect of the gun-powder gas, so that innumerable number of cracks occurs on that layer by repetition of such actions. The gun-powder gas penetrates through these cracks and accelerates the erosion. Thus it was concluded that the action of the gun-powder gas is the fatal cause of the deformation of the bore by erosion.

I. 緒 言

砲身の焼蝕は口径、火薬の種類、腔圧、弾丸の初速等の影響に支配されるところが極めて大きく一般に口径の大なる程焼蝕が烈しいのが普通である。

砲身の使用中に廢棄されるに至るのは此等焼蝕作用に基因する場合が極めて多いのである。即ち砲身の壽命は一に此の焼蝕作用の大小に左右されるのである従つて焼蝕に関しては古くから研究されて居るのであるが此等は弾道、火薬及化學方面の學者に依るものが多く冶金學的に材質方面から研究されたものは比較的少い様である。

本研究は材質方面から耐焼蝕性の材料の探究を目的とするものであるが、先づ其の前提として焼蝕の發生状態及其の機構に就て材質方面から觀察して明かになつた事項に就て茲に報告する次第である。

II. 焼蝕の發生情況

1) 腔面の焼蝕の状態

本試験に供した砲身は 37 mm 及 7.5 cm の口径のものである。

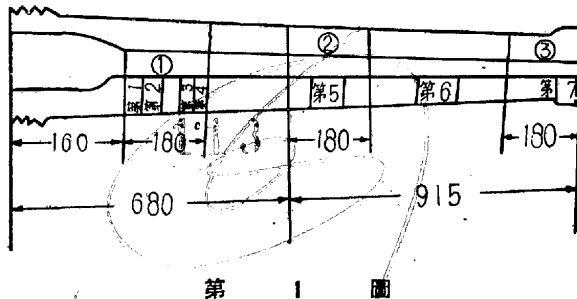
先づ 37 mm 砲に就て述べる。

成分は

C	Si	P	S	Mn	Cu	Ni	Cr
0.33	0.22	0.011	0.032	0.61	0.12	3.12	0.66

のものである。

實物縦断面寫眞の位置は下圖の通りである。



實物寫眞①は藥室先端②は砲身の中央部③は砲口（第 1 圖参照）

顯微鏡寫眞（横断面）は赤線の部分より第 1 ~ 7 まで取つた（第 1 圖参照）

寫眞第 1 a は焼蝕面の表面の状況を示す ×5

寫眞第 1 b は同部横断面研磨の儘 ×6

寫眞第 1 c は同部横断面で綫底即ち凹部 ×100

本組織の特徴は白色の層状とソルバイト組織から成る。

大なる龜裂は第 1 a で見らるる龜甲状の龜裂に相當し、白色の部の小龜裂は第 1 a の龜甲内の多數の小龜裂に相當する。

第 1 d は同部の横断面で隔壁部即ち凹部 ×100

龜裂の數が少ない。

白色層が 100 倍では認められる。

第 2 a は焼蝕面の表面の状況を示す ×5

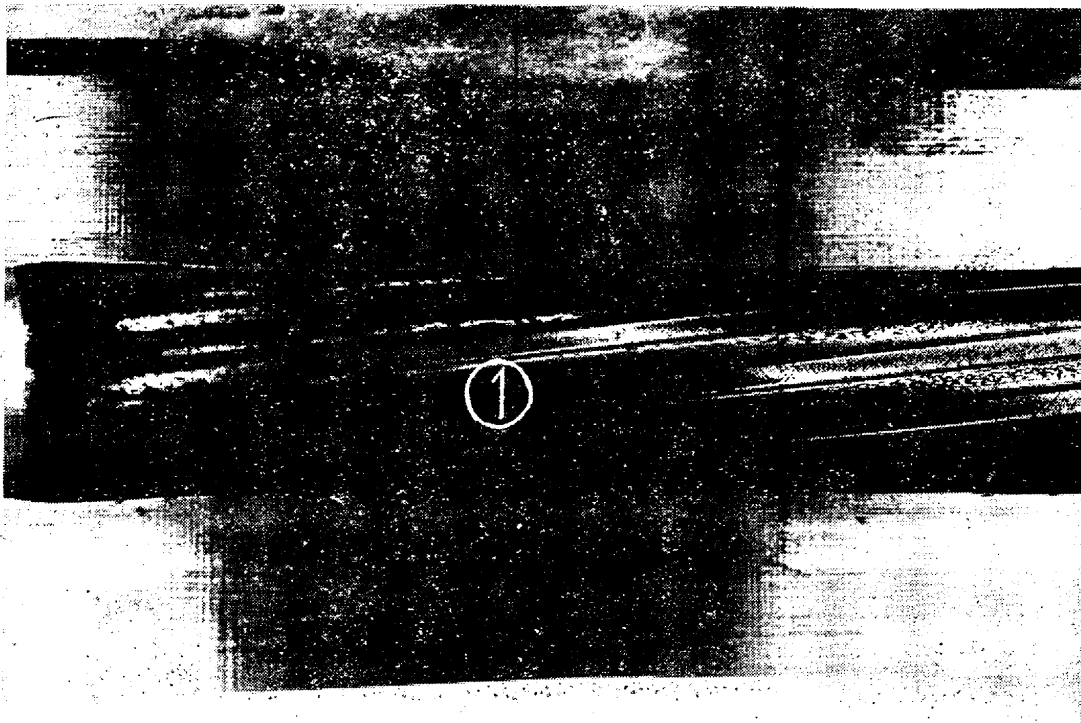
第 2 b は同部の横断面研磨の儘 ×6

第 2 c は同部の横断面（綫底凹部） ×100

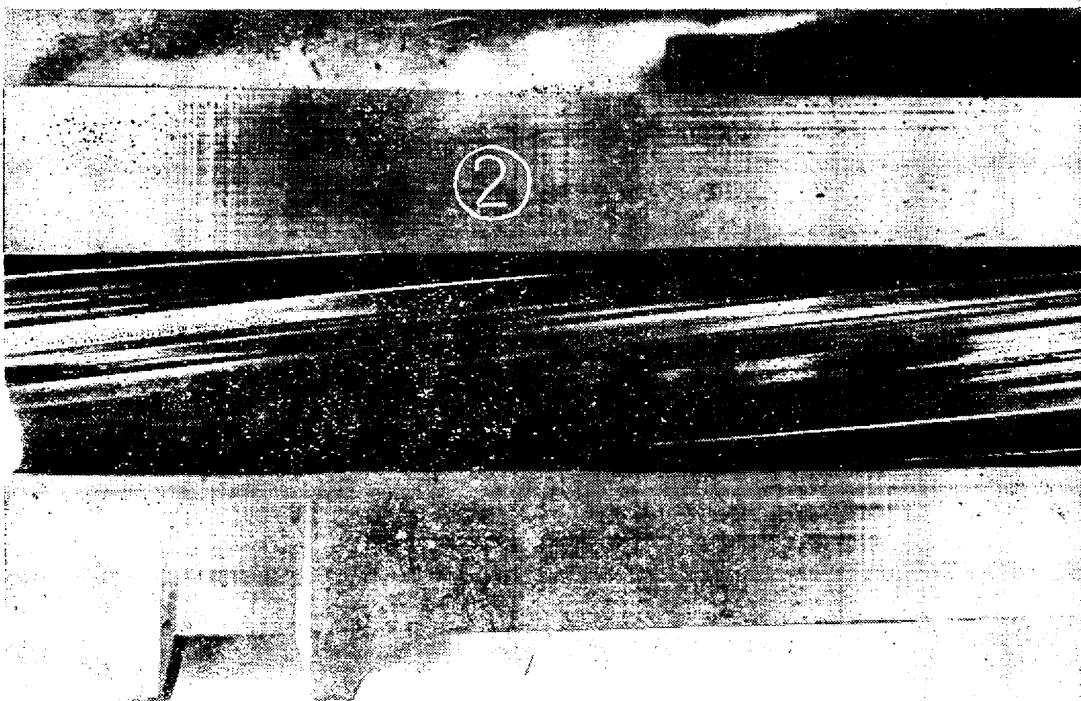
状況は第 1 c と殆んど同様である。

第 2 d は同部の横断面で隔壁部即ち凸部 ×100

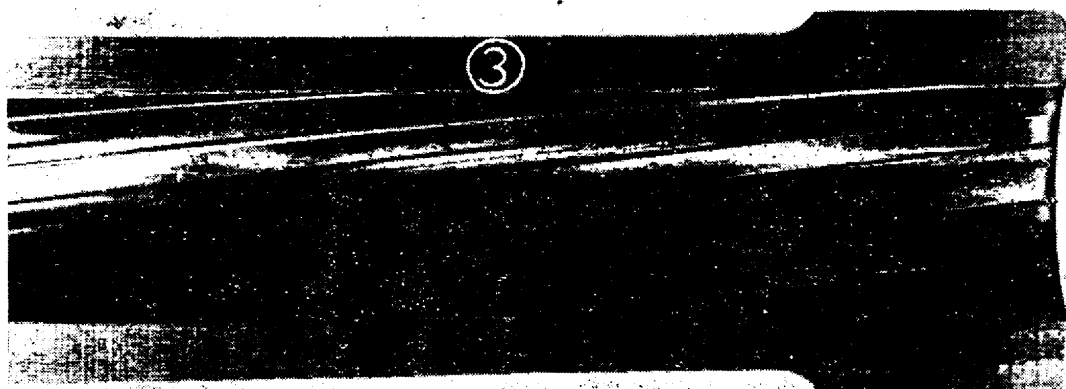
* 大阪陸軍造兵廠



寫真第1



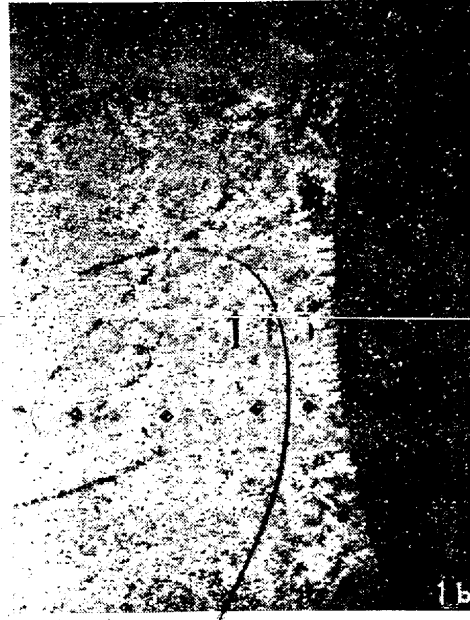
寫真第2



寫真第3



寫真第1a 表面×5



寫真第1b 横断面×6

白色の層が極めて薄い、亀裂の數も少い。

第3aは始線部から160mm位の所の焼蝕面の状況

×5

第3bは同部の横断面で研磨の儘

×6

亀裂の数も深さも大分減少して居る。

第3cは同部の横断面で綫底即ち凹部

×100

100倍では白色の層比較的薄い。

第3dは同部の横断面で隔壁部即ち凸部

×100

白色の層を認めず、亀裂の数も程度も小である。

第4aは第3aの隣接した所(始線部より約180mm)

で焼蝕面の状況を示す。

×5

第4bは同部の横断面研磨の儘

×6

亀裂も程度が大分減少し隔壁の境界も稍々判然として来た

第4cは同部横断面で綫底即ち凹部

×100

第4dは同部横断面で隔壁部即ち凸部

×100

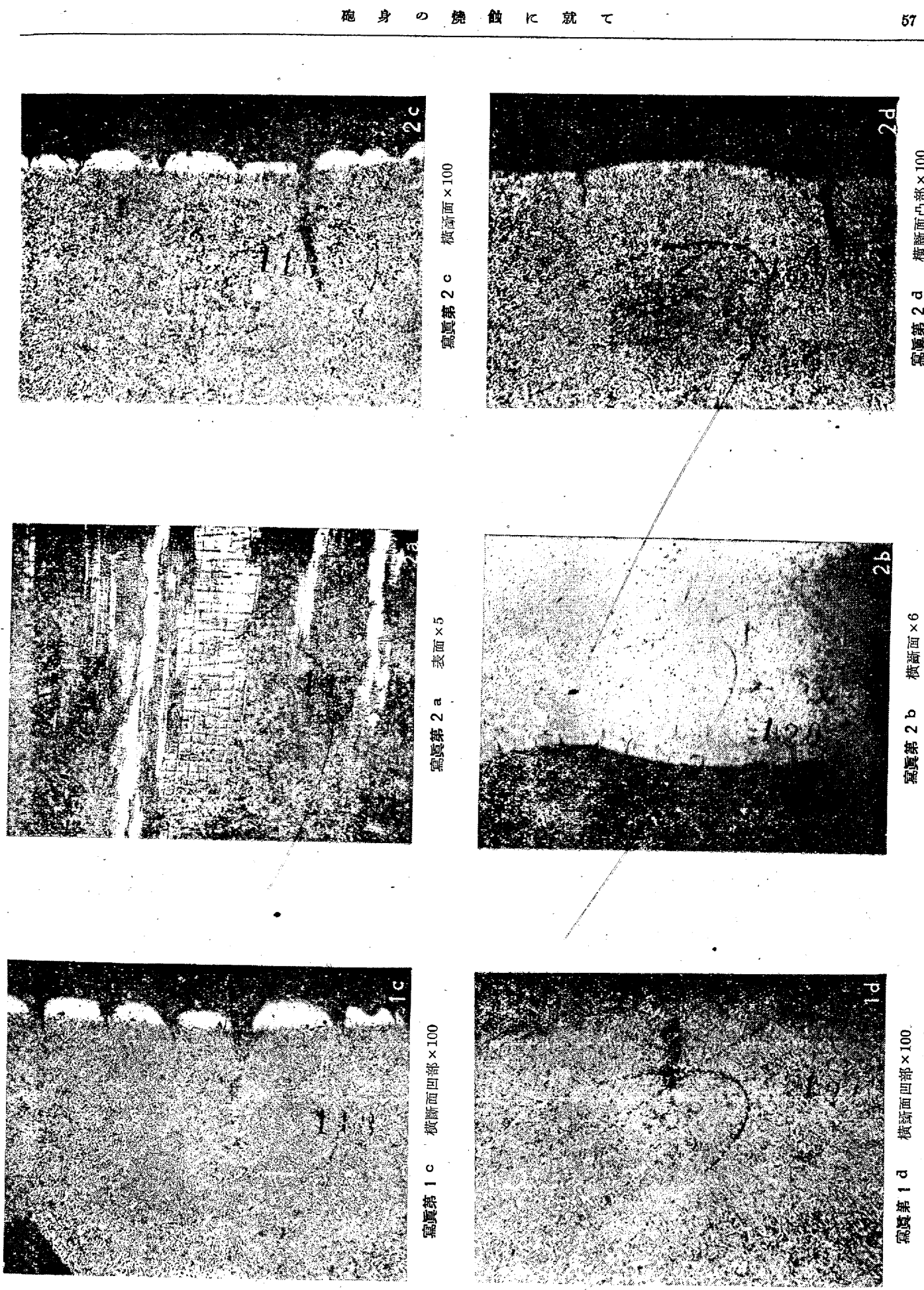
第4cも第4dも白色層を認めず、亀裂も少い。

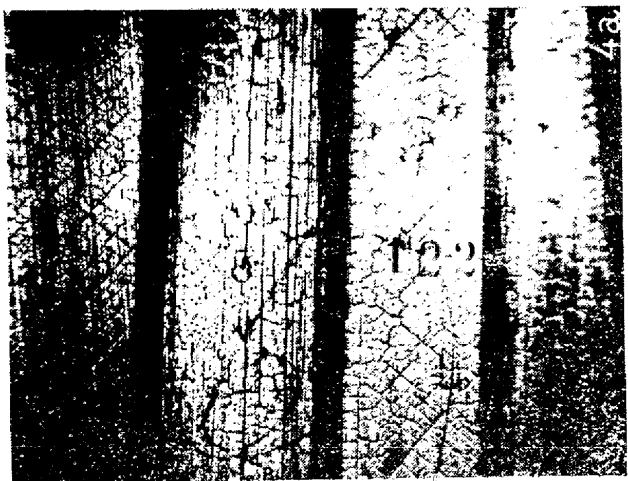
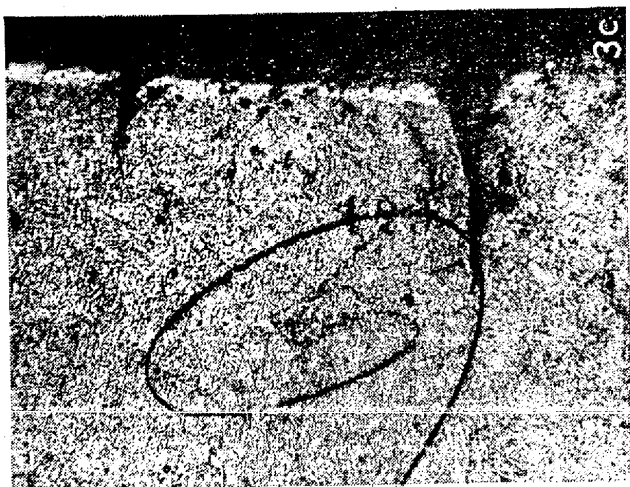
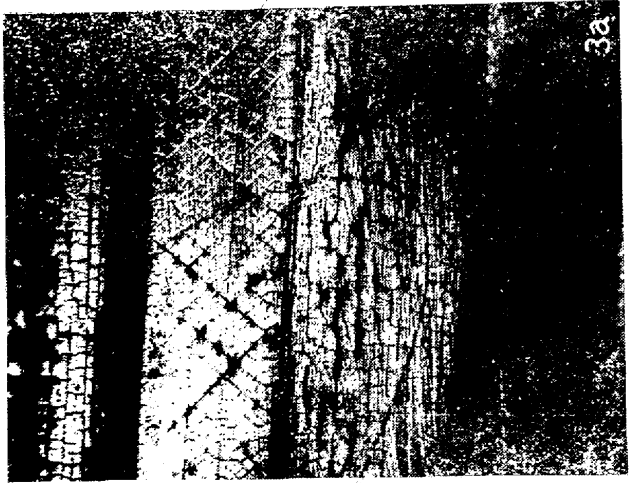
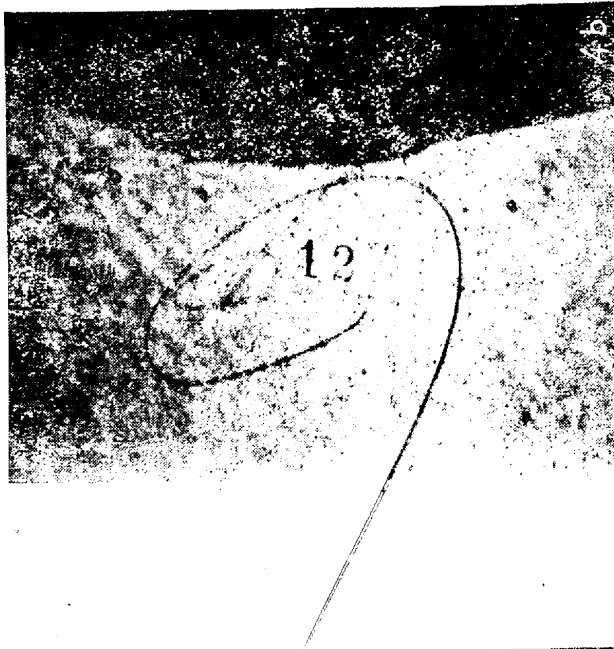
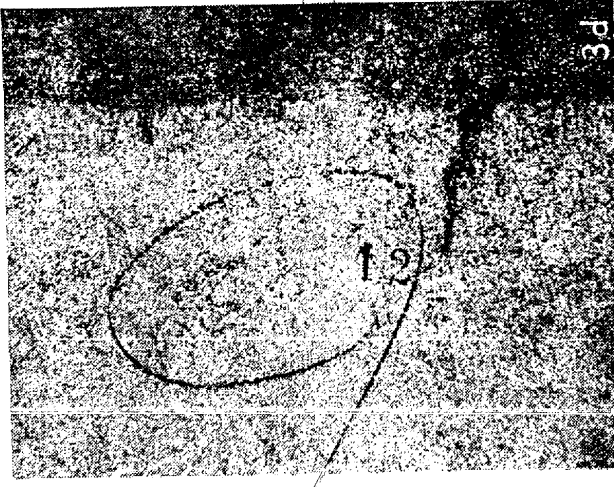
第5aは砲身中央部の焼蝕面の状況

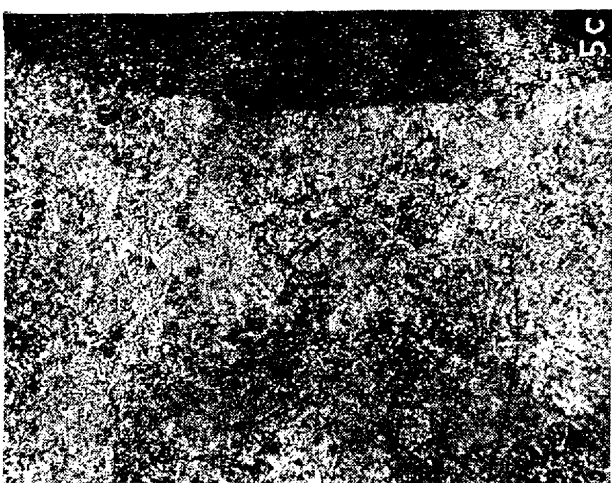
×5

第5bは同部の横断面で研磨の儘

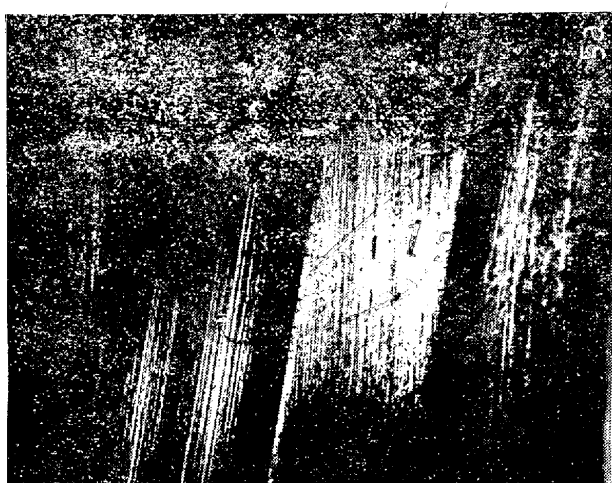
×6



寫真第 3 a 表面 $\times 5$ 寫真第 3 c 横断面凹部 $\times 100$ 寫真第 3 a 表面 $\times 5$ 寫真第 4 b 表面 $\times 6$ 寫真第 3 d 横断面凸部 $\times 100$ 寫真第 3 b 横断面 $\times 6$



写真第 5 c 横断面凹部 × 5



写真第 5 a 表面 × 5

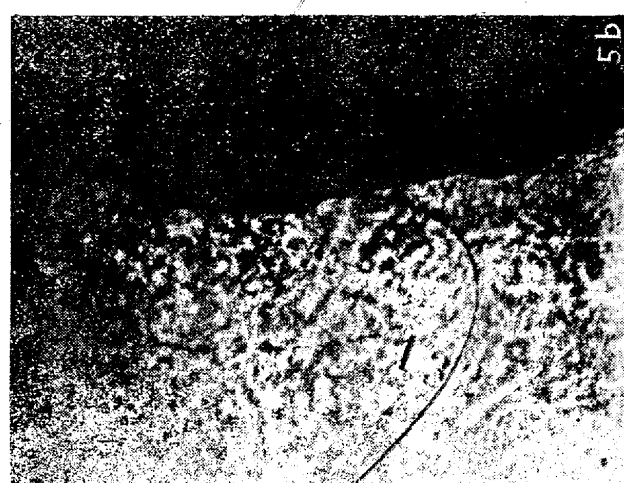


写真第 4 c 横断面凹部 × 100



写真第 6 a

横断面 × 6



写真第 5 b

横断面 × 6



写真第 4 d

横断面凸部 × 100

隔墻が判然として焼蝕が比較的少い。

第5cは同部の横断面で縫底部即ち凹部 $\times 100$

白色の層を認めず、龜裂も少い。

第6aは砲口より砲身の約1/6の所（約砲口から250 mm）の横断面 $\times 6$

龜裂は認めないが隔墻の境界が第5程判然として居ない。此の附近は相當磨耗をして居る。

第6bは同部の横断面で縫底部即ち凹部 $\times 100$

白色の層も龜裂も認めない。

第7は砲口の先端部の縫底部凹部の横断面 $\times 100$

一面ソルバイト組織で白色層は勿論龜裂も認めない。

次には7.5 cm 砲の焼蝕の状況を述べる。

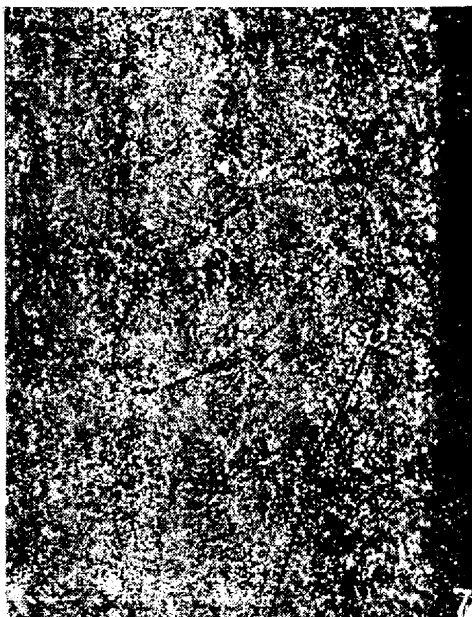
本砲に於ては前のものに比して火薬の量も多く腔圧も初速も大であるから焼蝕も甚しい。

特に本砲は異状焼蝕を呈したもので起縫部から50 mm 以内は全然隔墻は衰損して居る。而して約20 mm 及び約60 mm の範囲に隔墻が2箇所缺損したものである。

其の焼蝕の状況を寫真により示せば次の通である（附圖）



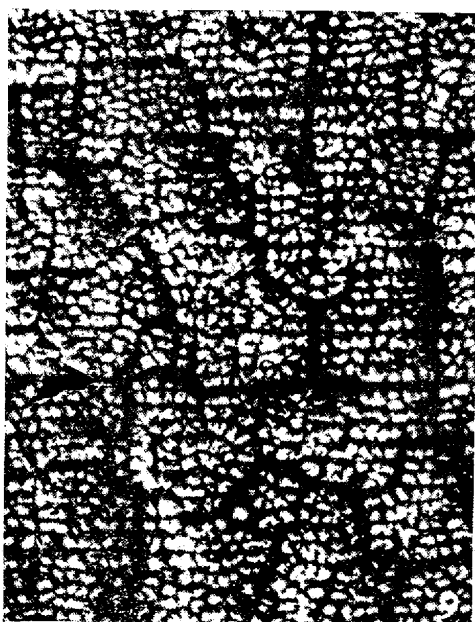
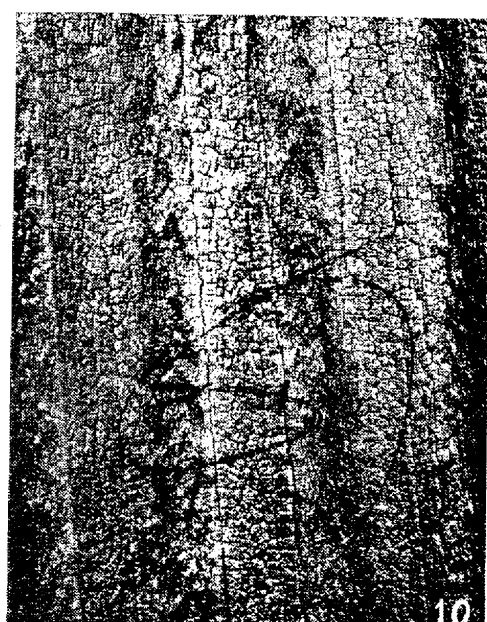
写真第6b 横断面凸部 $\times 100$



写真第7 横断面凹部 $\times 100$



写真第8 縦断面 $\times 0.7$

写真第 9 薬室部表面 $\times 10$ 写真第 10 施綫部表面 $\times 2$ 写真第 11 薬室部縦断面 $\times 100$ 写真第 12 横断面 $\times 100$

参照)写真第 8 は焼蝕の最も烈しい薬室に近い部分の縦断面を示したものである。

第 9 及第 10 は夫々薬室部及施綫部の表面の状況を示す。

第 11 は薬室部で非焼蝕部の縦断面($\times 100$)である。フェライトの分離が稍々認められるも大體均一のソルバイト組織を呈す。

第 12 は第 11 に隣接した焼蝕部の横断面($\times 100$)である。

37 mm 砲の第 1 と同様白色層があつて大小の龜裂が内部に垂直に侵入して居る。又多少表面より内部に向つて熱

影響が認められる。

第 13 は施綫部に近い所で隔壁缺損部に隣接した部分の横断面($\times 100$)である。

白色の層があつて此の層が缺損して居り又龜裂が深く内部に浸入し途中から彎曲した岐線から出て居る。

第 14 は薬室部から約 170 mm の所の横断面($\times 3.5$)で →の方向より見たものである。

研磨の儘で各隔壁は僅かに其の跡を残して居る、而して各隔壁の所に一定方向に彎曲した龜裂が生じて居る。

第 15 は同部の龜裂の附近の横断面 $\times 300$
白色層を認める、龜裂の部分には銅帶の銅が熔接して居る、



寫眞第 13 横断面 ×100



寫眞第 14 横断面 ×3.5



寫眞第 15 縦断面 ×300

又白層の表面に鋼が附着して居る。

2) 燃蝕面の状態に就ての總括

以上砲腔内の燃蝕の状況に就て述べたが之を總括すれば

(イ)燃蝕は薬室部附近が最も甚しい。

(ロ)龜裂の状態は薬室部は網状を呈し施綫部に於ては大體に於て綫底は砲身軸方向、隔壁部は横方向が發達して居る。

(ハ)燃蝕の最も甚しい附近一帯の腔面は白色の變質層を以て覆はれ龜裂多く又其の程度も強烈である。而して薬室部から遠ざかるに従ひ白色層の厚さが漸次薄くなり遂に之が認められなくなる。

龜裂も之と同様漸次減少して行く。

III. 燃蝕の機構

燃蝕の発生状態に就ては前項に於て詳細述べた通にして薬室前方及始綫附近が最も烈しく前方に進むに従ひ漸次減少して居る。これは火薬ガスの作用が其の主因をなすものであることは首肯出来る。而して爆發の際のガス圧は2000～3000 atm 又理論上の温度は約 2800°C にして燃焼ガスは CO, CO₂, CH₄N 及 H₂O より成る。従つて從來燃蝕の原因は是等高溫高壓ガスの熱效果を主とするものと化學的作用を主とするものと2つに大別される。特に後者の化學的作用に依るものとしては燃蝕面が CO ガスに依る滲炭作用又は N ガスに依り、窒化作用に依り表面硬化を生起しそが龜裂の原因をなし燃蝕を促進するのであるとする説が相當多いが未だ定説がない。

本研究に於ては此等の點を顯微鏡、X線、硬度試験等を行ひ明かにした。

1) 白色層の性状

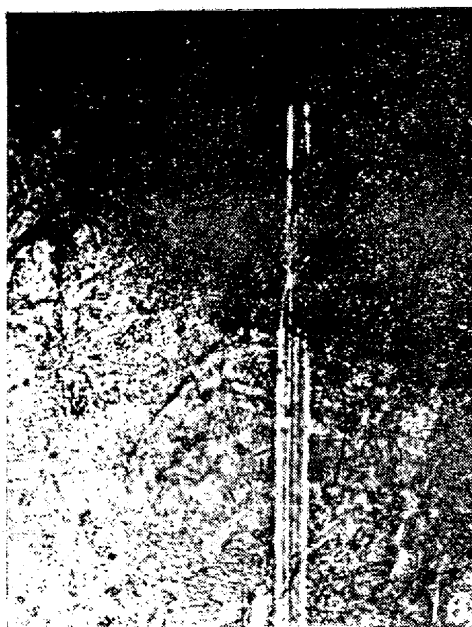
白色層の発生状態に就ては前記の通り薬室前方より始綫部の燃蝕の最も烈しい所が最も厚く先方に行くに従ひ漸次薄くなつて居る。而して施綫部に於ては綫底が厚く隔壁部は薄く其の最厚い部分で約 6/100 mm である。

此の白色層は極めて硬く且脆く手力を以て剝離することも出来る位である。而して強く腐蝕した顯微鏡組織は淡褐色を呈し極めて緻密である。

其の組織は寫眞第 16 に示す通であつて、之を 550°C 1.5 h 真空加熱したるに大體地質と同様な組織となつた。

寫眞第 17 及第 18 に示す通である。

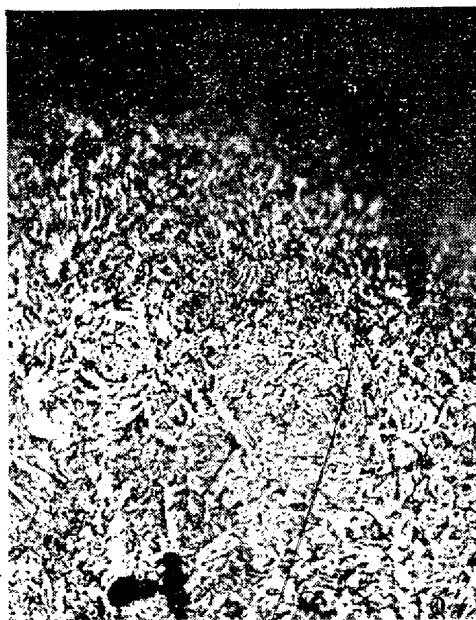
硬度を測定したのであるが層が極めて薄く、且表面に無



写真第 16 横断面 ×500



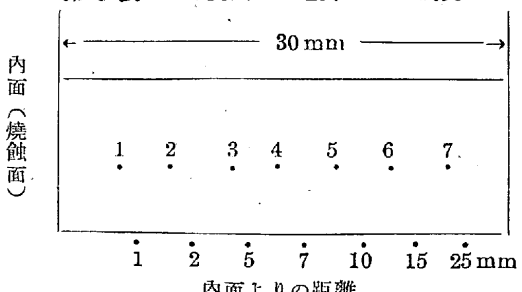
写真第 17 第 16 を 550°C 1.5 h 加熱 ×200



写真第 18 550°C 1.5 h 加熱 ×500

數の亀裂がある爲、直接に押壓に依る普通の方法では測定は困難で且不正確であるからスクラツチテストを行つた。其の結果は第 2 表の通である。

第 1 表 砲身焼蝕面及地質の Hv 硬度



各資料につき Hv を測定したが地質の硬度の分布は大なる差異はなかつた。

硬度測定位置	1	2	3	4	5	6	7	平均
内面よりの距離	1mm	2	5	7	10	15	25	
B ₃ (Hv)	264	266	6	273	276	281	277	271
B ₃ 内面 (Hv)				施綫底 {312 339 345 551 322} 凹部 {351 351 322 322 322}				333
B ₃ 550°C に 1.5 h 真空加 後の内面硬度				隔墻凸 {262 262 274} 部 {260 262 274}				266
A ₃ (Hv)	222	216	213	196	197	219	213	211
A ₃ 内面 (Hv)				内面粗鬆にて測定不能				

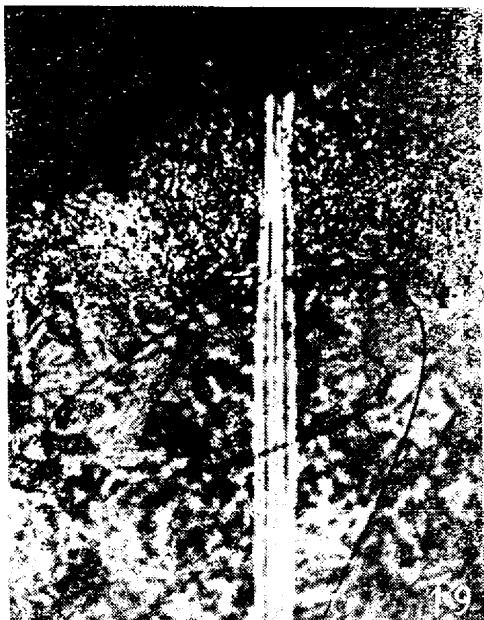
上記の値は其の 1 例であつて B₃ (始綫部) の地質は平均 271 を示した。此の部の焼蝕面を直接 Hv を測つたが施綫底部は平均 333 を示し硬度が高くなつてゐる。

隔墻部は平均 266 を示し硬度の高上を示さなかつた、焼蝕面は硬度が高いことは窺ひ知ることが出来るが Hv の値は不正確であるからマルテン搔痕値を求めた。

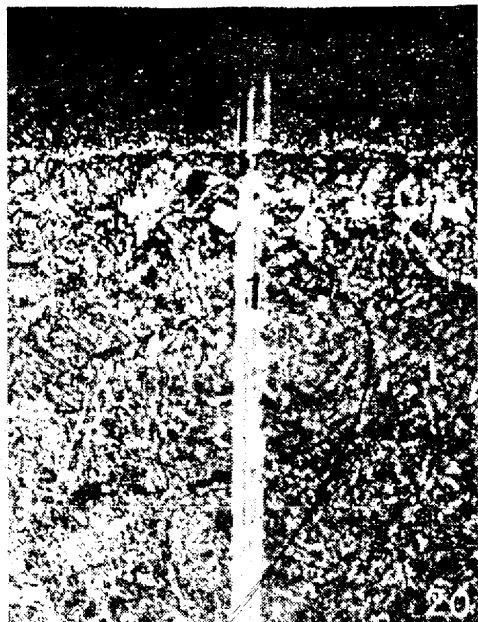
第 2 表 砲身焼蝕面及地質のマルテン搔痕値(荷重 10g)

試 料	真空加熱	mm (×500)	平均
B ₃	施綫底凹部	2.0 2.2 2.2 2.0 2.2	2.1
	隔墻凸部	2.6 2.6 3.0 3.0	2.8
	地 質	3.3 3.3 3.4 3.4 3.6	3.4
A ₃	施綫底凹部	3.0 3.2 2.8 3.0 3.0	3.0
	隔墻凸部	3.0 3.0 4.2 3.0 3.0	3.1
	地 質	4.0 3.0 4.0 4.0 4.0	4.0
B ₃ 550°C 1.5 h	施綫底凹部	4.0 4.0 3.8 4.0 3.8	3.9
	真空加熱	4.2 4.0 4.0 4.2 4.0	4.1
	地 質	4.0 4.0 4.0 4.0 4.0	4.0
	真空加熱	4.0 4.0 4.0 4.0 4.0	4.0

前表に明かなる如く焼蝕面の白色層は地質より硬度が著し



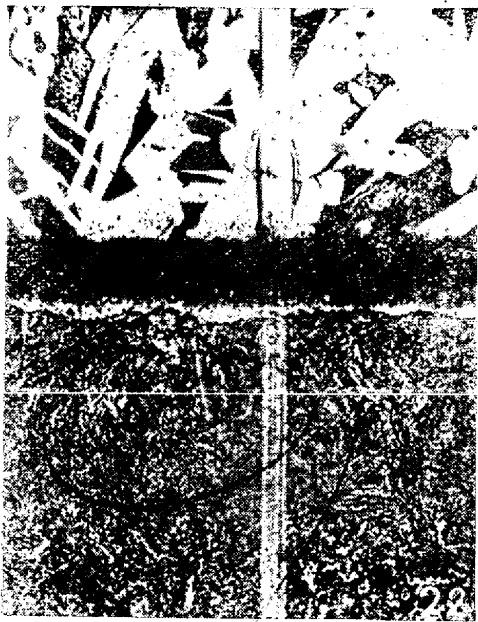
寫眞第 19 550°C 加熱 ×500



寫眞第 20 510°C 6h 窒化 ×500



寫眞第 21 480°C 15h 窒化 ×500



寫眞第 22 550°C 100h 加熱 ×500

く高いことが明瞭である、又 550°C に加熱すれば硬度は低下し、大體の地質と同程度となる(寫眞第 16, 第 17, 第 19 参照)

2) 窒化試験

最初 510°C, 6 h, アンモニア氣流中で窰化を行つたが窰化面は寫眞第 20 の如く 3 層より成り焼蝕の白色層とは全然異なる組織を示したから試料を再製し 480°C, 15 h, 再び窰化した其の組織は寫眞第 21 の如く厚さ約 1/100 mm の 1 層を得た、此の層は地質との境界が極めて明瞭で此の點焼蝕面の白色層とは趣きを異にして居る、又硬度を測定したが、前と同様 10 g 荷重のマルテンス搔痕値を求め

たが、窰化層には搔痕が出来なかつた、其の状況は寫眞第 21 の通りで焼蝕面の白色より著しく硬いことが解る、 H_V は 500 であつた。

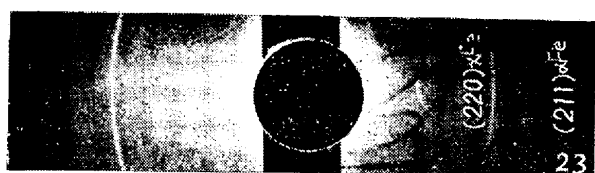
此の試料を 550°C, 1.5 h, 真空加熱をした表面は窰素が幾分か消散して居るが尙窰化層は判然と残存して居る、其の搔痕寫眞は第 22 に示す通りである、其の H_V は 414 であつた。

3) X線に依る試験

焼蝕面の白色層、地質及窰化層の結晶構造に如何なる相違があるかを X 線に依りて調査した。

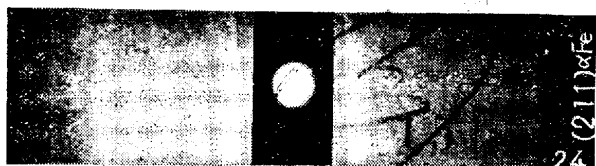
地質の構造は寫眞第 23 に示す通り α -Fe の構造が明瞭

写真第 23

地質 α Fe

写真第 24

白色層



写真第 25

白色層

550°C

1h30'mn

加熱

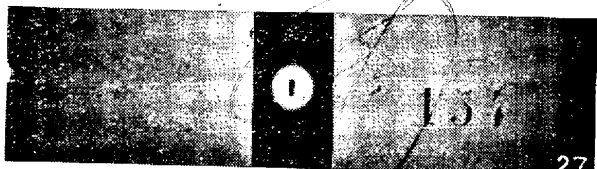


写真第 26

窒化せざる
地質

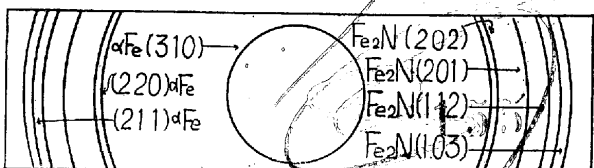
写真第 27

窒化層



写真第 27

説明図



写真第 28

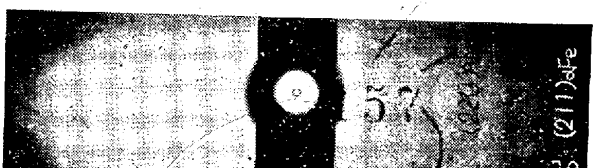
窒化層

550°C 1h30'

mm 加熱



写真第 29

「ノッヅル」の
内面

に現れて居る。

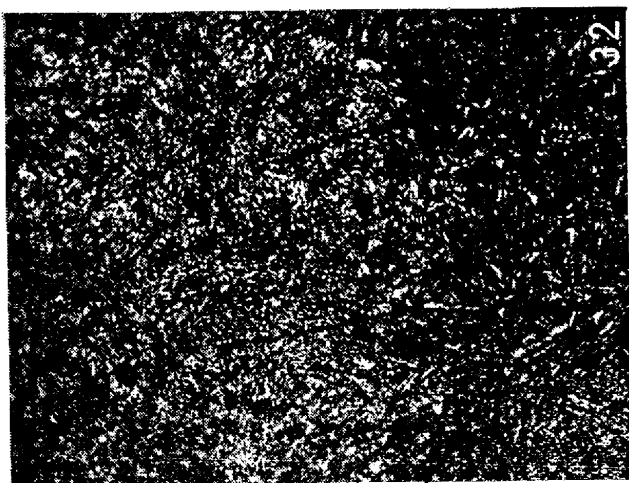
次に白色層の表面を直接 X 線にあてたが結晶が非常に緻密で餘り明瞭に現はれなかつたがマルテンサイトなることは確に認められた、写真第 24 に示す通り α -鉄及 γ -鉄の結晶が認められる。尙同一試料を 550°C, 1.5 h 真空加熱を

行ひ之を X 線に當てたが地質と同程度に α -鉄の線が明瞭に現れ尙殘留オーステナイトの線が認められた、即ち写真第 25 に示す通りである。

次に 480°C 15 h 窒化せる資料に就て地質及窒化層の X 線写真は夫々第 26 及第 27 に示す通りにして地質は前の第 23 と同様で、窒化層は Fe_2N 及び α -鉄の線が現はれ、白色層の X 線写真とは大いに趣きを異にして居る、又同一試料を 550°C 1.5 h 真空加熱したる表面層を調査したるに写真第 28 に示す通り Fe_2N と α -鉄との線が表はれた、之も白色層を同一の熱処理したものとは大いに趣きを異にして居る、又ポンプ試験後(火薬ガス増約 2000 K)のノッヅルの断面に就て調査したが其の状況は写真第 30 第 31 及第 32 に示す通りで、100 倍では殆んど焼蝕腔面の状態に酷似して居る、500 倍では未だ完全にマルテンサイトには變化して居ないが、其の部分の X 線写真は第 29 に示す通りで、白色層のそれと酷似して居る、ノッヅルの場合は只 1 回の爆發である為に腔面の白色層の如く緻密なマルテンサイトには變化して居ないが X 線では γ 線が微弱ながら現れて居るのは其の表面は熔解して急冷した為、幾分オーステナイトが残留して居るのであらう。

(4) 热效果の試験

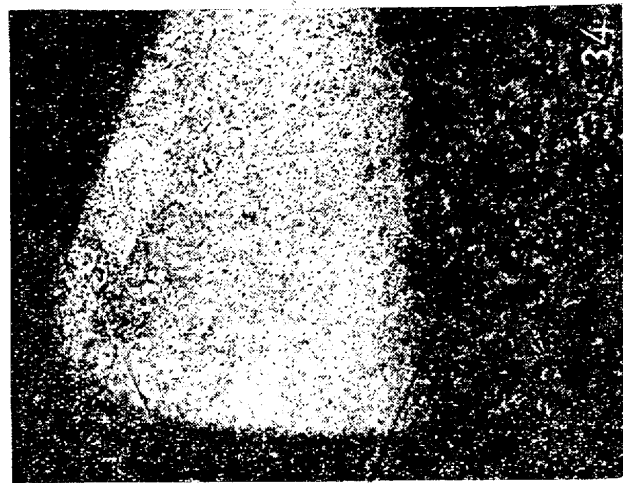
ポンプ試験に於けるノッヅルの内面に於ける熱效果に就いては前項に於て述べた通りであるが、更に同一試料に就て火花放電を行ひ其の熱效果を観た、写真第 33, 第 34 に示す通りで 100 倍では大體ノッヅルの場合と酷似して居る。放電の時間は 15160 s 位で火薬の爆發時間とは単位が異なるので、1 回ではマルテンサイトを得ることは出来なかつたが略々熱效果の状態を察知することは可能である、以上白色層の性状に就て顕微鏡組織、硬度及 X 線試験を行ひ、又比較の為に窒化層に就ても同様の調査を行つたが之等の試験の結果より総合するに白色層は滲炭層でもなく、又窒化層とも全く異なるもので高温の火薬ガスに依つて焼入效果を生じ極めて緻密にマルテンサイト化したものであることを知つた。又念の為に焼蝕面と地質との窒素含有量を分析したが焼蝕面の窒素量は 0.0145% 地質の夫れは 0.0100% であつた、幾分焼蝕面は窒素含量が高い様に思はれるが、其の差は極く僅少であり、又前記



寫真第 32 第 31 × 500

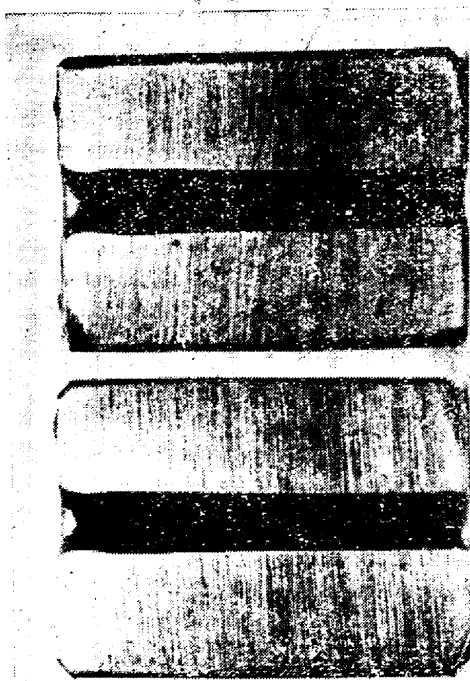


寫真第 31 ノンダル縦断面 × 100

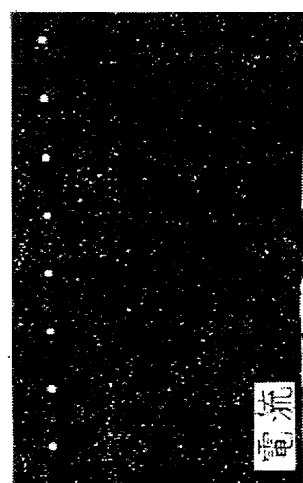


34

写真第 34 × 100



写真第 30 ボンプ試験用ノンダル断面



写真第 33

の通り焼蝕面は無数の龜裂を生じ其の割目に火薬残渣があり十分注意しても完全を期し難い憾がある。

之を要するに砲身の内面は發射を重ねる毎に火薬の瞬間的爆發時の加熱作用に依り漸次微細なる即ち非結晶質に近い程緻密なるマルテンサイトに變化し、特有の白色層を成生し、之が熱の交感を受け又發射時に於ける砲身自身の膨脹收縮並に弾丸の摩擦に依り龜裂を生ずる、之焼蝕の第1階程とも稱すべきものである、これ等龜裂は漸次擴大せられ且相續して居る爲火薬ガスは弾丸銅帶とこれ等の龜裂との極小の間隙より非常に大なる速度を以て噴出し單に機械的に龜裂を擴大するのみならず熔解作用をも伴ひ銅帶と腔面との間隙を益々大ならしむるに至る、而して此の現象は綫底に於て最も著しく恰もポンプ試験と類似の結果を呈する。

寫真第30～31はポンプのノツヅルの断面の状態を示す隔牆も弾丸旋動に依り間隙を生じ同様の現象を起すであらう。

一旦斯くの如き状態に到達すれば、焼蝕は一段と猛烈に促進せられ、漸次先方に進展するであらう、斯くの如くにて砲腔面の衰損を來し裝填時の弾丸前進距離を増大し、從つて薬室容積の大變化を生じ弾丸發射速度の著しき低下を招來する、又隔牆衰損の爲遂に弾丸の反轉するものを生ず

る、茲に於て砲身の生命は全く失はれるものである。

又前にも述べたる如く、砲身の焼蝕は口徑の大なる程又初速の大なるものに於て益々著しい事實より推測しても、其の主要なる致命的原因は火薬ガスの噴出作用に依るものである、尤も弾丸銅帶の摩擦作用も或る時期には之に參與するであらうが、銅が腔面に附着して居る状況より觀て之に依る磨耗は僅少の様である、尚隔牆が中途で一部分缺損する場合があるが、之は隔牆基部に沿ふて生じた龜裂がノツチの作用を爲し、弾丸銅帶の隔牆側面に働く壓力に依る機械的作用に因るることは明かである（寫真第13及第14参照）

IV. 結 言

以上焼蝕状態及其の機構に就て述べたのであるが、其の研究結果より推察するに、砲身の焼蝕を防止することに就ては使用すべき火薬の研究が素より極めて必要であると思考される、然し茲には材質的方面のみより觀察すれば所謂白色層を生ぜしめる如き又一方高熱に耐へ得る即ち熔融點の高き耐熱性材質を選ぶか、又は腔面を之等の現象から防護し得る被膜例へばクローム鍍金の如き方法を講すれば焼蝕を或る程度防止し得るに有效であると思考されるが此等に就ては今後の研究に俟つこととする。